

где первое слагаемое — вклад эффекта собственной анизотропии, а второе слагаемое определяет величину эффекта микроформы; n_s и n_k — показатели преломления растворителя и полимера, ρ — плотность полимера, M_0 — вес мономерного звена, S — число мономерных единиц в статистическом сегменте Кунда, равное для данного полимера 40 [4], $(L_2 - L_1)_s$ — фактор формы сегмента, который примем равным 2π , поскольку асимметрия сегмента велика (отношение длины сегмента к его поперечным размерам) [4], $a_{\parallel} - a_{\perp}$ — разность поляризумостей мономерного звена.

Для разности поляризумостей мономерного звена (включающего одно глюкозидное кольцо) получаем величину $-68 \cdot 10^{25} \text{ см}^3$. Столь большая отрицательная анизотропия мономерного звена ФКЦ обусловлена строением боковых замещающих радикалов, содержащих анизотропные ароматические циклы и жесткие амидные группы, способные к образованию внутримолекулярных водородных связей.

Институт высокомолекулярных
соединений АН СССР

Поступила в редакцию
29 IV 1976

ЛИТЕРАТУРА

1. В. Н. Цветков, Высокомолек. соед., A16, 944, 1974.
2. P. N. Laurenko, E. I. Rjumtsev, I. N. Stennikova, L. N. Andreeva, N. V. Pogodina, V. N. Tsvetkov, J. Polymer Sci., C44, 217, 1974.
3. Е. И. Рюмцев, Л. Н. Андреева, Ф. М. Алиев, Л. И. Куценко, В. Н. Цветков, Высокомолек. соед., A17, 1368, 1975.
4. Л. Н. Андреева, П. Н. Лавренко, Э. У. Уринов, Л. И. Куценко, В. Н. Цветков, Высокомолек. соед., B17, 326, 1975.
5. В. Н. Цветков, В. Е. Эскин, С. Я. Френкель, Структура макромолекул в растворах, «Наука», 1964.
6. A. Peterlin, H. Stuart, Z. Phys., 112, 129, 1939.

УДК 541.64:678.028

ИЗУЧЕНИЕ ОСОБЕННОСТЕЙ ПРОЦЕССА ВУЛКАНИЗАЦИИ СОПОЛИМЕРОВ, СОДЕРЖАЩИХ СЛОЖНОЭФИРНЫЕ ГРУППЫ

В. П. Волков, Т. Е. Юрчук, Э. В. Зимин, К. В. Нельсон

Комплекс ценных технических свойств сополимеров, содержащих карбоксильные и сложноэфирные группы, как известно, реализуется в полной мере при использовании вулканизующих систем, обеспечивающих образование лабильных ионных и стабильных ковалентных связей в пространственной структуре вулканизата [1–6]. Физико-механические свойства резин на основе данных сополимеров определяются соотношением ионных и ковалентных связей, регулируемых за счет состава вулканизующей системы. На основании сравнительного изучения физико-механических свойств вулканизатов, полученных с различными системами вулканизации, предполагалось, что солевая и ковалентная вулканизация являются конкурирующими процессами [2, 3]. Более подробного исследования процесса комбинированной вулканизации полимеров с функциональными группами ранее не проводилось. Между тем детальное изучение особенностей данного процесса, а также взаимного влияния ингре-

дентов вулканизации крайне необходимо для выбора рациональных систем вулканизации и улучшения свойств вулканизатов на основе полимеров, упомянутых выше.

В настоящей работе исследован процесс вулканизации сополимера бутадиена, акрилонитриловой кислоты (АНК) и изопропилкарбоксиметилметакрилата, полученного при соотношении мономеров 74 : 26 : 10 соответственно (сополимер БНЭФ) [7]. Вязкость сополимера по Муни при 100° — 58, T_c — 36° .

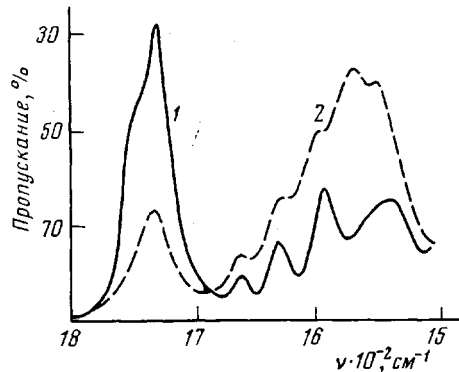


Рис. 1

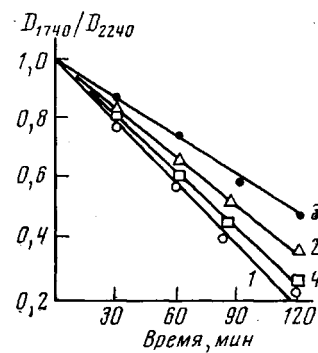


Рис. 2

Рис. 1. ИК-спектры поглощения каучука БНЭФ (1) и его солевого вулканизата (2)

Рис. 2. Относительное изменение вулканизации для солевой (1) и комбинированных систем вулканизации (2–4)

Здесь и на рис. 3 содержание, вес. ч: сера — 1,0 (2), перекись дикумила — 1,0 (3), тиуром — 3,0; окись цинка — 5,0 (4)

Для образования ионных связей в пространственной структуре вулканизатов в составе резиновых смесей использовали вулканизующий агент — гидроокись кальция в сочетании с активатором $\text{CaSO}_4 \cdot 2\text{H}_2\text{O}$ [8, 9]. Для получения ковалентных спивков в составе резиновых смесей использовали серу, перекись дикумила или тетраметилтиурамдисульфид (тиуром) [8–10].

Содержание ионных связей в вулканизационной структуре резин БНЭФ определяли методом ИК-спектроскопии и по равновесному набуханию вулканизатов в толуоле Q_t , а также смеси толуола с 3%-ной уксусной кислотой Q_{tu} согласно методике [11].

В процессе вулканизации каучуков со сложноэфириными группами происходит гидролиз сложноэфирных групп с образованием групп COO^- (рис. 1). Поэтому интенсивность характеристической полосы поглощения карбонильной группы 1740 см^{-1} уменьшается и появляются две новые полосы в области 1550 и 1460 см^{-1} , которые соответствуют антисимметричным и симметричным колебаниям группы COO^- соответственно [12]. Первая из этих полос весьма характерна, однако в этой же области спектра лежат полосы поглощения неозона Δ , что ограничивает возможности использования этой полосы при наличии в каучуке указанного выше антиоксиданта. Полоса карбонильного поглощения 1740 см^{-1} удобна для анализа, ее интенсивность пропорциональна количеству сложноэфирных групп в полимере и уменьшается с их расходованием на образование солевых связей. В качестве внутреннего стандарта использовали полосу 2240 см^{-1} ($\nu_{C=N}$), интенсивность которой, как нами было установлено, в процессе вулканизации не меняется. Относительные оптические плотности D_{1740}/D_{2240} нормировались к единице. Кроме того, в спектрах солевых вулканизатов каучука БНЭФ наблюдается уменьшение интенсивности полос поглощения в области 1300 — 1000 см^{-1} , обусловленное колебаниями групп $\text{C}-\text{O}$ в изопропилкарбоксиметилметакрилате [13].

Изменения, наблюдавшиеся в спектрах вулканизатов, по сравнению со спектром невулканизированного каучука, соответствуют вступлению карбо-

нильных групп в реакцию с образованием связи $(\text{COO})_2\text{Ca}$. Из рис. 2, на котором представлено относительное изменение интенсивности карбонильного поглощения от времени вулканизации, видно, что по истечении 120 мин. вулканизации $\sim 80\%$ карбонильных групп вступает в реакцию солеобразования. Добавка 1% серы приводит к тому, что в реакцию солеобразования вступает лишь $\sim 65\%$ карбонильных групп. Присутствие в смеси перекиси дикумила и тиурама также приводит к уменьшению скорости процесса солеобразования. Из рис. 2 видно, что перекись дикумила подавляет солевую вулканизацию в большей степени, чем сера или тиурам.

Данные, полученные методом ИК-спектроскопии, полностью согласуются с результатами изучения структуры вулканизатов каучука БНЭФ методом равновесного набухания. Из рис. 3 следует, что чем выше плотность ковалентных связей, тем меньше образуется ионных связей в процессе комбинированной вулканизации сополимеров БНЭФ. Увеличение содержания ионных связей в пространственной структуре ненаполненных резин сопровождается ростом сопротивления разрыву (таблица).

Таким образом, на основании проведенных экспериментов следует, что введение в состав вулканизующей группы для сополимеров БНЭФ ингредиентов ковалентной вулканизации, как правило, подавляет процесс солевой вулканизации и снижает концентрацию ионных связей в пространственной структуре вулканизата. Это, по-видимому, объясняется гете-

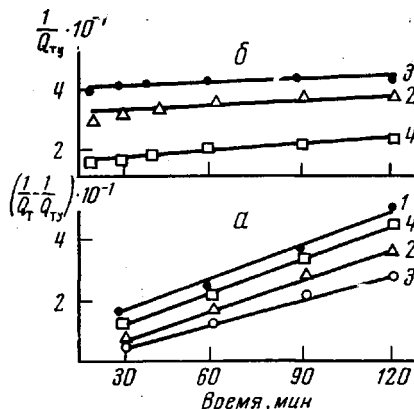


Рис. 3. Кинетика солевой (а) и ковалентной (б) вулканизации ненаполненных резиновых смесей на основе сополимеров БНЭФ для солевой (1) и комбинированных систем вулканизации (2–4)

Влияние вулканизующих систем * на физико-механические показатели ненаполненных резин БНЭФ

| Показатели | Система вулканизации | | | |
|--|----------------------|-----------------------------------|-----------|-----------------------------|
| | солевая | комбинированная | | |
| | | ингредиенты вулканизации | | |
| | | тиурам 3,0; окись цинка 5,0 | сера 1,0 | перекись дикумила 1,0 |
| $1/Q_{\text{t}} - 1/Q_{\text{t}}$ | | | | |
| Напряжение при 100%-ном удлинении, kG/cm^2 | 4,8 45 | 4,2 39 | 3,3 41 | 2,4 42 |
| Сопротивление разрыву, kG/cm^2 | 478 | 440 | 380 | 210 |
| Удлинение, %: | | | | |
| относительное | 637 | 610 | 585 | 465 |
| остаточное | 38 | 36 | 33 | 22 |

* Продолжительность вулканизации 120 мин. при 160°.

рогенным характером реакции солеобразования, протекающей на поверхности гидроокиси кальция, которая практически нерастворима в полимере. При введении в состав смеси различных вулканизующих агентов или ускорителей последние растворяются в полимере и сорбируются на части-

цах гидроокиси кальция и тем самым замедляют процесс солевой вулканизации. Кроме того, образовавшиеся в процессе вулканизации ковалентные связи уменьшают подвижность полимерных цепей, что также снижает скорость реакции солеобразования. Из систем комбинированной вулканизации сополимеров БНЭФ наибольшее подавляющее влияние на солевую вулканизацию оказывает перекись дикумила, наименьшее — тиурам.

Всесоюзный научно-исследовательский
институт синтетического каучука
им. С. В. Лебедева

Поступила в редакцию
30 IV 1976

ЛИТЕРАТУРА

1. Б. А. Долгоплоск, В. Н. Рейх, Е. И. Тинякова, А. Е. Калаус, З. А. Корюшенко, Е. Г. Сладкович, Каучук и резина, 1957, № 6, 1.
2. H. P. Brown, Rubber Chem. and Technol., 30, 1347, 1957.
3. H. P. Brown, Rubber Chem. and Technol., 36, 93, 1963.
4. З. Н. Тарасова, Б. А. Догадкин, М. И. Архангельская, С. Б. Петрова, Коллоидн. ж., 22, 253, 1960.
5. Ф. Е. Куперман, Б. К. Карлин, Каучук и резина, 1964, № 1, 10.
6. Э. В. Зимин, Б. А. Долгоплоск, В. Н. Рейх, Т. Д. Хрусталева, Каучук и резина, 1963, № 1, 5.
7. А. В. Лебедев, А. И. Езрилев, А. Б. Пейзнер, Л. В. Уткина, Авт. свид. 248216, 1964; Бюлл. изобретений, 1969, № 24.
8. Э. Я. Дервиц, М. Г. Капун, А. И. Езрилев, В. Г. Кудряшева, Каучук и резина, 1972, № 9, 8.
9. Т. А. Смирнова, Производство шин, РТИ и АТИ, 1973, № 1, 1.
10. Т. Е. Юрчук, Э. В. Зимин, Каучук и резина, 1975, № 10, 11.
11. И. Я. Поддубный, Е. Г. Эренбург, Е. И. Старовойтова, Докл. АН СССР, 120, 535, 1958.
12. Л. Беллами, Инфракрасные спектры сложных молекул, Изд-во иностр. лит., 1963, стр. 250.
13. Д. Н. Хаслам, Г. А. Виллис, Идентификация и анализ полимеров, «Химия», 1971, стр. 90.

УДК 541.64:547 (538. 141+35)

ИССЛЕДОВАНИЕ ПРОЦЕССА СОПОЛИМЕРИЗАЦИИ ФЕРРОЦЕНСОДЕРЖАЩИХ НЕНАСЫЩЕННЫХ ПОЛИЭФИРОВ СО СТИРОЛОМ

В. П. Редько, В. К. Скубин, Д. Ф. Кутепов, В. В. Коршак

Цель настоящей работы — изучение кинетических особенностей процесса сополимеризации полидиэтиленгликольмалеинатов (ДМ), синтезированных в присутствии ферроцена (Φ) и его алкилпроизводных: 1,1'-диметилферроцена (ДМФ), 1,1'-диэтилферроцена (ДЭФ), 1,1'-дипропильтферроцена (ДПФ), 1,1'-дибутилферроцена (ДБФ).

Для исследования были выбраны ферроценсодержащие ненасыщенные полиэфиры (ФНП) с к.ч. 45, синтезированные по описанной ранее методике [1] и совмещенные при температуре 90° с 40 вес.% стирола. Различная реакционная способность синтезированных ненасыщенных полиэфиров обусловлена наличием в цепи различных алкилпроизводных Φ . Для краткости написания синтезированные полиэфиры обозначали: ДМ-0,003 Φ , ДМ-0,003 ДМФ, ДМ-0,003 ДЭФ, ДМ-0,003 ДПФ, ДМ-0,003 ДБФ. Количество Φ и алкилпроизводного составляло 0,003 моля на моль малинового ангидрида.